

Ю. М. Воловенко, Т. А. Воловченко, А. В. Добрынцев

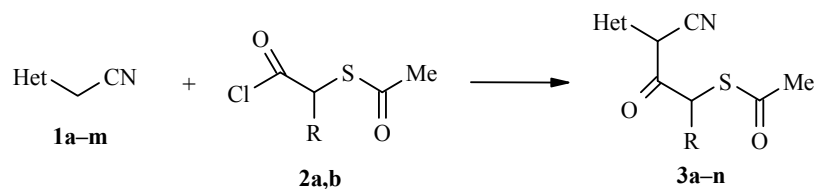
**АЦИЛИРОВАНИЕ 2-АЗАГЕТАРИЛАЦЕТОННITРИЛОВ
ХЛОРАНГИДРИДАМИ (АЦЕТИЛТИО)УКСУСНОЙ
И α -АЦЕТИЛТИО)ПРОПИОНОВОЙ КИСЛОТ.
ПОЛУЧЕНИЕ 5-АМИНО-4-ГЕТАРИЛТИОФЕН-3(2H)-ОНОВ**

Ацилированием 2-азагетарилацетонитрилов хлорангидридами (ацетилтио)уксусной и α -(ацетилтио)пропионовой кислот получены 3-гетарил-2-оксо-3-цианопропил- и 3-гетарил-1-метил-2-оксо-3-цианопропилэтантиоаты, соответственно, которые при действии на них аминов деацетилируются и циклизуются с образованием 5-амино-4-гетарилтиофен-3(2H)-онов.

Ключевые слова: 2-азагетарилацетонитрилы, 5-амино-4-гетарилтиофен-3(2H)-оны, хлорангидриды (ацетилтио)уксусной и α -(ацетилтио)пропионовой кислот, ацилирование.

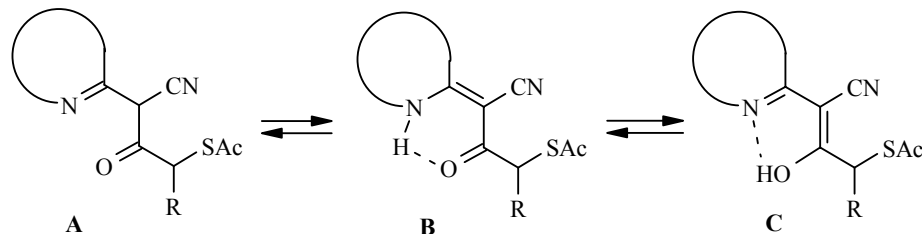
Ранее мы показали [1, 2], что взаимодействие гетарилацетонитрилов с (ацетилтио)ацетилхлоридом (подобно реакциям с ангидридами [3] и хлорангидридами карбоновых кислот [4–7]) приводит к С-ацилированным гетарилацетонитрилам, которые в присутствии оснований дезацетилируются и самопроизвольно циклизуются в 5-амино-4-гетарилтиофен-3(2H)-оны.

В настоящей работе мы продолжили эти исследования, распространив их на хиназолин-, бензимидазолил- и бензотиазолилацетонитрилы **1a–m** и α -ацетилмеркаптоацетил- и пропионилхлориды **2a,b**. Реакция проходит в ДМФА при комнатной температуре с образованием соответствующих С-ацилпроизводных **3a–n** с высокими выходами (табл. 1).



2a, 3a–i R = H, **2b, 3j–n** R = Me; **1a–i, 3a–j** Het = R¹-4-оксо-3,4-дигидрохиназол-2-ил, **1j–l, 3k–m** Het = R²-(1Н-бензимидазол-2-ил), **1m, 3n** Het = бензотиазол-2-ил; **a** R¹ = H, **b,j** R¹ = 6-Me, **c** R¹ = 6,8-Me₂, **d** R¹ = 6,7-(OMe)₂, **e** R¹ = 6-F, **f** R¹ = 6-Cl, **g** R¹ = 6-Br, **h** R¹ = 7-Cl, **i** R¹ = 6-I, **k** R² = H, **l** R² = Me, **m** R² = Br

Соединения **3a–n** могут существовать в одной из трех таутомерных форм: **A**, **B** или **C**.



Предложенная структура С-ацилпроизводных **3a–n** подтверждается наличием в ИК спектрах полос поглощения карбонильной группы хиназолонового цикла при $1700\text{--}1680\text{ cm}^{-1}$ (соединения **3a–j**) и полосы сопряженной карбонильной группы $\text{C}=\text{O}$ ацильного фрагмента при 1650 cm^{-1} (соединения **3a–n**), участвующей в образовании внутримолекулярной водородной связи (ВМВС). Интенсивная полоса поглощения сопряженной нитрильной группы наблюдается при $2200\text{--}2180\text{ cm}^{-1}$. Поглощение в области $3180\text{--}3150\text{ cm}^{-1}$ обусловлено связями NH хиназолонового ядра (соединения **3a–j**). В спектрах ЯМР ^1H соединений **3a–i**, записанных в DMSO-d_6 , в области $7.34\text{--}8.23$ м. д. присутствуют сигналы ароматических протонов хиназолонового ядра, в области $2.39\text{--}2.40$ м. д. наблюдается трехпротонный синглет S-ацетильной группы и двухпротонный синглент метиленовой группы в области $4.11\text{--}4.14$ м. д. В слабом поле наблюдаются сигналы двух обменивающихся с D_2O протонов: при $12.33\text{--}12.39$ – протона NH в положении 3 хиназолона и при $13.32\text{--}14.12$ м. д. – хелатированного протона при атоме азота в положении 1 молекулы. Хелатированный протон NH претерпевает сильное дезэкранирующее воздействие карбонильной группы и гетероциклического ядра, и поэтому его сигнал наблюдается в самом слабом поле. В спектрах ЯМР ^1H соединений **3j–n** примечательными являются: трехпротонный синглент S-ацетильной группы при $2.32\text{--}2.35$ м. д., дублет сигнала метильной группы, связанной с метиновым протоном, при $1.45\text{--}1.48$ и квартет сигнала метинового протона при $4.71\text{--}4.74$ м. д., а также сигнал хелатированного протона NH в области $12.85\text{--}13.55$ м. д. На основании изложенного выше, мы считаем, что соединения в растворе существуют в NH-таутомерной форме **B** с ВМВС. Этот вывод совпадает с литературными данными для подобных соединений [7].

S-Ацетилпроизводные **3a–i,k,l** при действии основания (амиак, диметиламин или пиперидин) легко дезацетилируются с образованием реакционноспособных γ -меркаптонитрилов, которые выделить не удается, так как происходит внутримолекулярное присоединение меркаптогруппы к нитрильной и образуются 5-аминотиофен-3(2Н)-оны **4a–k**.

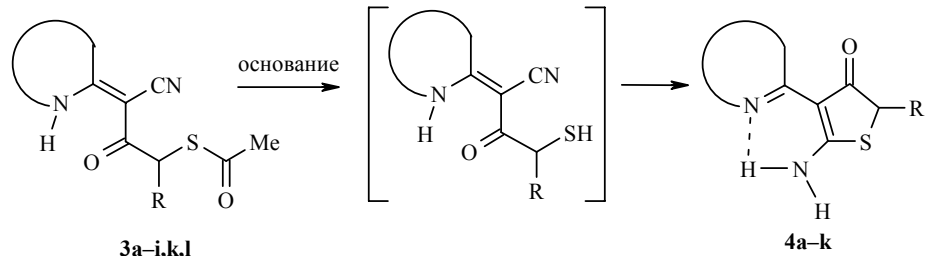
Таблица 1
Характеристики соединений 3a–n и 4a–k

| Соединение | Название соединения | Брутто-формула | Найдено, % | | Т. пл., °C * | Выход, % |
|------------|--|---|-----------------------|-----------------------|--------------|----------|
| | | | N | S | | |
| 1 | 2 | 3 | 4 | 5 | 6 | 7 |
| 3a | 3-(4-Оксо-3,4-дигидро-2-хиназолил)-2-оксо-3-цианопропилэтантиоат | C ₁₄ H ₁₁ N ₃ OS | <u>14.02</u> 13.95 | <u>10.61</u> 10.64 | >300 | 85 |
| 3b | 3-(6-Метил-4-оксо-3,4-дигидро-2-хиназолил)-2-оксо-3-цианопропилэтантиоат | C ₁₅ H ₁₃ N ₃ O ₃ S | <u>13.37</u> 13.33 | <u>9.99</u> 10.17 | 293 | 83 |
| 3c | 3-(6,8-Диметил-4-оксо-3,4-дигидро-2-хиназолил)-2-оксо-3-цианопропилэтантиоат | C ₁₆ H ₁₅ N ₃ O ₃ S | <u>12.83</u> 12.76 | <u>10.01</u> 9.74 | >300 | 85 |
| 3d | 3-(6,7-Диметокси-4-оксо-3,4-дигидро-2-хиназолил)-2-оксо-3-цианопропилэтантиоат | C ₁₆ H ₁₅ N ₃ O ₅ S | <u>11.59</u> 11.63 | <u>8.90</u> 8.87 | 298 | 81 |
| 3e | 3-(6-Фтор-4-оксо-3,4-дигидро-2-хиназолил)-2-оксо-3-цианопропилэтантиоат | C ₁₄ H ₁₀ FN ₃ O ₃ S | <u>13.18</u> 13.16 | <u>10.10</u> 10.04 | 286 | 78 |
| 3f | 3-(6-Хлор-4-оксо-3,4-дигидро-2-хиназолил)-2-оксо-3-цианопропилэтантиоат | C ₁₄ H ₁₀ ClN ₃ O ₃ S | <u>12.54</u> 12.51 | <u>9.52</u> 9.55 | 273 | 83 |
| 3g | 3-(6-Бром-4-оксо-3,4-дигидро-2-хиназолил)-2-оксо-3-цианопропилэтантиоат | C ₁₄ H ₁₀ BrN ₃ O ₃ S | <u>11.10</u> 11.05 | <u>8.44</u> 8.43 | 286 | 81 |
| 3h | 3-(7-Хлор-4-оксо-3,4-дигидро-2-хиназолил)-2-оксо-3-цианопропилэтантиоат | C ₁₄ H ₁₀ ClN ₃ O ₃ S | <u>12.52</u> 12.51 | <u>9.55</u> 9.55 | 284 | 78 |
| 3i | 3-(6-Иод-4-оксо-3,4-дигидро-2-хиназолил)-2-оксо-3-цианопропилэтантиоат | C ₁₄ H ₁₀ IN ₃ O ₃ S | <u>10.01</u> 9.84 | <u>7.55</u> 7.51 | 294 | 79 |
| 3j | 1-Метил-3-(6-метил-4-оксо-3,4-дигидро-2-хиназолил)-2-оксо-3-цианопропилэтантиоат | C ₁₆ H ₁₅ N ₃ O ₃ S | <u>12.82</u> 12.76 | <u>9.77</u> 9.73 | 146 | 80 |
| 3k | 1-Метил-3-(1Н-бензо[<i>d</i>]имидазол-2-ил)-2-оксо-3-цианопропилэтантиоат | C ₁₄ H ₁₃ N ₃ O ₂ S | <u>14.67</u> 14.62 | <u>11.18</u> 11.16 | 224 | 75 |
| 3l | 1-Метил-3-(1-метил-1Н-бензо[<i>d</i>]имидазол-2-ил)-2-оксо-3-цианопропилэтантиоат | C ₁₅ H ₁₅ N ₃ O ₂ S | <u>14.00</u> 13.94 | <u>10.70</u> 10.64 | 202 | 85 |
| 3m | 3-(1-Бензил-1Н-бензо[<i>d</i>]имидазол-2-ил)-1-метил-2-оксо-3-цианопропилэтантиоат | C ₂₁ H ₁₉ N ₃ O ₂ S | <u>11.22</u> 11.13 | <u>8.51</u> 8.49 | 152 | 82 |
| 3n | 3-(1,3-Бензотиазол-2-ил)-1-метил-2-оксо-3-цианоэтантиоат | C ₁₄ H ₁₂ N ₂ O ₂ S | <u>9.22</u> 9.20 | <u>21.10</u> 21.07 | 222 | 84 |
| 4a | 2-(2-Амино-4-оксо-4,5-дигидро-3-тиенил)-4(3Н)-хиназолинон | C ₁₂ H ₉ N ₃ O ₂ S | <u>16.24</u> 16.21 | <u>12.37</u> 12.37 | >300 | 82 |
| 4b | 2-(2-Амино-4-оксо-4,5-дигидро-3-тиенил)-6-метил-4(3Н)-хиназолинон | C ₁₃ H ₁₁ N ₃ O ₂ S | <u>15.41</u> 15.37 | <u>11.76</u> 11.73 | >300 | 85 |
| 4c | 2-(2-Амино-4-оксо-4,5-дигидро-3-тиенил)-6,8-диметил-4(3Н)-хиназолинон | C ₁₄ H ₁₃ N ₃ OS ₂ | <u>14.65</u> 14.62 | <u>11.09</u> 11.16 | >300 | 79 |

Окончание таблицы 1

| 1 | 2 | 3 | 4 | 5 | 6 | 7 |
|-----------|---|--|-----------------------|-----------------------|------|----|
| 4d | 2-(2-Амино-4-оксо-4,5-ди-гидро-3-тиенил)-6,7-ди-метокси-4(3Н)-хиназолинон | C ₁₄ H ₁₃ N ₃ O ₄ S | <u>13.19</u> 13.16 | <u>10.07</u> 10.04 | >300 | 75 |
| 4e | 2-(2-Амино-4-оксо-4,5-ди-гидро-3-тиенил)-6-фтор-4(3Н)-хиназолинон | C ₁₂ H ₈ FN ₃ O ₂ S | <u>15.34</u> 15.50 | <u>11.55</u> 11.56 | >300 | 80 |
| 4f | 2-(2-Амино-4-оксо-4,5-ди-гидро-3-тиенил)-6-хлор-4(3Н)-хиназолинон | C ₁₂ H ₈ ClN ₃ O ₂ S | <u>14.45</u> 14.31 | <u>10.97</u> 10.92 | >300 | 78 |
| 4g | 2-(2-Амино-4-оксо-4,5-ди-гидро-3-тиенил)-6-бром-4(3Н)-хиназолинон | C ₁₂ H ₈ BrN ₃ O ₂ S | <u>12.46</u> 12.43 | <u>9.51</u> 9.48 | >300 | 67 |
| 4h | 2-(2-Амино-4-оксо-4,5-ди-гидро-3-тиенил)-7-хлор-4(3Н)-хиназолинон | C ₁₂ H ₈ ClN ₃ O ₂ S | <u>14.29</u> 14.31 | <u>10.91</u> 10.92 | >300 | 82 |
| 4i | 2-(2-Амино-4-оксо-4,5-ди-гидро-3-тиенил)-6-иод-4(3Н)-хиназолинон | C ₁₂ H ₈ IN ₃ O ₂ S | <u>10.93</u> 10.91 | <u>8.33</u> 8.32 | >300 | 78 |
| 4j | 2-(2-Амино--5-метил-4-оксо-4,5-дигидро-3-тиенил)бензимидазол | C ₁₂ H ₁₁ N ₃ OS | <u>17.22</u> 17.13 | <u>13.15</u> 13.07 | 215 | 75 |
| 4k | 2-(2-Амино-5-метил-4-оксо-4,5-дигидро-3-тиенил)-1-метилбензимидазол | C ₁₃ H ₁₃ N ₃ OS | <u>16.19</u> 16.20 | <u>12.37</u> 12.36 | >300 | 80 |

* Растворители для перекристаллизации: ДМФА (соединения **3a–i** и **4a–i**), *n*-BuOH (соединения **3j, 4j,k**) и *i*-PrOH (соединения **3k–n**).



В спектрах ЯМР ¹Н соединений **4a–k** сигналы протонов аминогруппы наблюдаются в виде двух однопротонных синглетов в области 8.70–10.11 и 9.06–10.57 м. д., что обусловлено неэквивалентностью протонов аминогруппы из-за наличия ВМВС. Эти сигналы исчезают при добавлении D₂O. Протоны метиленовой группы тиофенового цикла дают двухпротонный синглет в области 3.94–3.98 м. д. (для соединений **4a–i**), а для соединений **4j,k** характерными являются: дублет сигнала метильной группы при 1.53 (*J* = 6.8 и *J* = 7.2 Гц) и квартет метинового протона при 4.08 м. д. В самом слабом поле, в области 12.20–12.43 м. д., поглощает протон N–H хиназолинового цикла (соединения **4a–i**). В ИК спектрах полученных соединений отсутствует поглощение нитрильной группы в области 2200–2180 см^{−1}, но наблюдаются две полосы поглощения, обусловленные

Таблица 2
Спектры ЯМР ^1H соединений 3a–n и 4a–k

| Соединение | Химические сдвиги, δ , м. д. (J , Гц) |
|------------|---|
| 3a | 2.39 (3H, с, SCOCH_3), 4.13 (2H, с, CH_2), 7.45 (1H, м, H-6), 7.83 (2H, м, H-7,8), 8.03 (1H, д, J =7.6, H-5), 12.49 (1H, с, NH), 13.33 (1H, с, NH) |
| 3b | 2.39 (3H, с, SCOCH_3), 2.42 (3H, с, CH_3), 4.12 (2H, с, CH_2), 7.66 (1H, д, J =8.0, H-7), 7.73 (1H, д, J =8.8, H-8), 7.82 (1H, с, H-5), 12.42 (1H, с, NH), 13.31 (1H, с, NH) |
| 3c | 2.37 (3H, с, CH_3), 2.38 (3H, с, CH_3), 2.40 (3H, с, SCOCH_3), 4.14 (2H, с, CH_2), 7.55 (1H, с, H-7), 7.68 (1H, с, H-5), 12.33 (1H, с, NH), 14.11 (1H, с, NH) |
| 3d | 2.39 (3H, с, SCOCH_3), 3.85 (3H, с, CH_3O), 3.89 (3H, с, CH_3O), 4.11 (2H, с, CH_2), 7.35 (1H, с, H-8), 7.47 (1H, с, H-5), 12.38 (1H, с, NH), 13.22 (1H, с, NH) |
| 3e | 2.39 (3H, с, SCOCH_3), 4.12 (2H, с, CH_2), 7.74 (2H, м, H-7,8), 7.90 (1H, с, H-5), 13.22 (1H, с, NH), NH – обмен с водой |
| 3f | 2.39 (3H, с, SCOCH_3), 4.13 (2H, с, CH_2), 7.85 (2H, м, H-7,8), 7.94 (1H, с, H-5), 13.48 (1H, с, NH), NH – обмен с водой |
| 3g | 2.39 (3H, с, SCOCH_3), 4.12 (2H, с, CH_2), 7.78 (1H, м, H-8), 7.97 (1H, м, H-7), 8.06 (1H, с, H-5), 13.45 (1H, с, NH), NH – обмен с водой |
| 3h | 2.39 (3H, с, SCOCH_3), 4.12 (2H, с, CH_2), 7.47 (1H, д, J =8, H-5), 7.90 (1H, с, H-8), 8.01 (1H, д, J =6.8, H-6), 13.40 (1H, с, NH), NH – обмен с водой |
| 3i | 2.39 (3H, с, SCOCH_3), 4.12 (2H, с, CH_2), 7.62 (1H, д, J =8.8, H-8), 8.09 (1H, д, J =8.4, H-7), 8.23 (1H, с, H-5), 13.42 (1H, с, NH), NH – обмен с водой |
| 3j | 1.46 (3H, д, J =6.8, CH_3), 2.35 (3H, с, SCOCH_3), 2.43 (3H, с, CH_3), 4.73 (1H, кв, J =6.8, CH), 7.58 (1H, д, J =8.4, H-7), 7.74 (1H, д, J =8.4, H-8), 7.82 (1H, с, H-5), 12.33 (1H, с, NH), 13.48 (1H, с, NH) |
| 3k | 1.47 (3H, д, J =6.8, CH_3), 2.34 (3H, с, SCOCH_3), 4.71 (1H, кв, J =6.8, CH), 7.21 (2H, т, J =7.2, H-5,6), 7.50 (2H, д, J =6.8, H-4,7), 12.85 (2H, с, 1-NH, 3-NH) |
| 3l | 1.47 (3H, д, J =6.8, CH_3), 2.35 (3H, с, SCOCH_3), 3.96 (3H, с, NCH_3), 4.85 (1H, кв, J =6.8, CH), 7.33 (2H, т, J =7.2, H-5,6), 7.63 (2H, д, J =7.6, H-4,7), 13.34 (1H, с, NH) |
| 3m | 1.47 (3H, д, J =6.8, CH_3), 2.32 (3H, с, SCOCH_3), 4.79 (1H, кв, J =6.8, CH), 5.83 (2H, с, CH_2Ph), 7.47 (1H, д, J =7.6, H-4(7)), 7.71 (1H, д, J =7.6, H-7(4)), 7.20–7.35 (7H, м, $\text{CH}_2\text{C}_6\text{H}_5$, 5,6-Het) |
| 3n | 1.47 (3H, д, J =6.8, CH_3), 2.35 (3H, с, SCOCH_3), 4.75 (1H, кв, J =6.8, CH), 7.31 (1H, т, J =7.2, H-5), 7.45 (1H, т, J =7.6, H-6), 7.67 (1H, д, J =6.0, H-4), 7.89 (1H, д, J =7.6, H-7), 13.55 (1H, с, NH) |
| 4a | 3.93 (2H, с, CH_2), 7.36 (1H, т, J =6.8, H-6), 7.71–7.72 (2H, м, H-7,8), 8.02 (1H, д, J =7.6, H-5), 9.99 (1H, с, NH ₂), 10.55 (1H, с, NH ₂), 12.30 (1H, с, NH) |
| 4b | 2.41 (3H, с, CH_3), 3.97 (2H, с, CH_2), 7.59 (1H, д, J =8, H-7), 7.67 (1H, д, J =8.8, H-8), 7.85 (1H, с, H-5), 9.99 (1H, с, NH ₂), 10.57 (1H, с, NH ₂), 12.31 (1H, с, NH) |
| 4c | 2.36 (3H, с, CH_3), 2.39 (3H, с, CH_3), 3.96 (2H, с, CH_2), 7.44 (1H, с, H-7), 7.68 (1H, с, H-5), 10.11 (1H, с, NH ₂), 10.48 (1H, с, NH ₂), 12.21 (1H, с, NH) |
| 4d | 3.85 (3H, с, OCH_3), 3.90 (3H, с, OCH_3), 3.95 (2H, с, CH_2), 7.35 (1H, с, H-8), 7.37 (1H, с, H-5), 9.93 (1H, с, NH ₂), 10.55 (1H, с, NH ₂), 12.20 (1H, с, NH) |
| 4e | 3.96 (2H, с, CH_2), 7.66 (1H, д, J =9.2, H-8), 7.71 (1H, д, J =7.6, H-7), 9.99 (1H, с, NH ₂), 10.46 (1H, с, NH ₂), 12.41 (1H, с, NH) |
| 4f | 3.97 (2H, с, CH_2), 7.78 (2H, м, H-7,8), 7.94 (1H, с, H-5), 9.95 (1H, с, NH ₂), 10.46 (1H, с, NH ₂), 12.43 (1H, с, NH) |
| 4g | 3.98 (2H, с, CH_2), 7.77 (2H, м, H-7,8), 7.91 (1H, с, H-5), 9.98 (1H, с, NH ₂), 10.43 (1H, с, NH ₂), 12.47 (1H, с, NH) |
| 4h | 3.99 (2H, с, CH_2), 7.41 (1H, д, J =8.4, H-6), 7.98 (1H, с, H-8), 8.01 (1H, д, J =8.4, H-5), 10.05 (1H, с, NH ₂), 10.50 (1H, с, NH ₂), 12.39 (1H, с, NH) |
| 4i | 3.98 (2H, с, CH_2), 7.84 (2H, м, H-7,8), 7.97 (1H, с, H-5), 9.99 (1H, с, NH ₂), 10.56 (1H, с, NH ₂), 12.49 (1H, с, NH) |
| 4j | 1.53 (3H, д, J =6.8, 5- CH_3 тиоф.), 4.08 (1H, м, H-5 тиоф.), 7.12 (2H, т, J =6.8, H-5,6), 7.52–7.59 (2H, д, J =6.8, H-4,7), 9.55 (1H, с, NH ₂), 10.07 (1H, с, NH ₂), 12.02 (1H, с, NH) |
| 4k | 1.52 (3H, д, J =7.2, 5- CH_3 тиоф.), 3.69 (3H, с, CH_3 -бензимид.), 4.01 (1H, м, H-5 тиоф.), 7.21 (2H, т, J =7.0, H-5,6), 7.51 (1H, д, J =6.8, H-7), 7.57 (1H, д, J =7.2, H-4), 8.70 (1H, с, NH ₂), 9.05 (1H, с, NH ₂) |

валентными колебаниями первичной аминогруппы: в области 3340–3330 (асимметричные колебания) и 3260–3250 см^{-1} (симметричные колебания). Поглощение карбонильной группы в ИК спектрах данных соединений не наблюдается, что характерно для соединений с β -енаминокетонным фрагментом [2, 8]. Согласно спектральным данным, соединения **4a–k** полностью существуют в виде аминокетонов.

ЭКСПЕРИМЕНТАЛЬНАЯ ЧАСТЬ

Контроль за ходом реакций и чистотой синтезированных соединений проводился методом ТСХ на пластинах Silufol UV-254 в системе хлороформ–метанол, 9:1. Спектры ЯМР ^1H измерены на спектрометре Varian Mercury 400 (400 МГц) в ДМСО- d_6 , внутренний стандарт ТМС. ИК спектры записаны на приборе SP 3-300 Pye-Unicam. Температуры плавления измерены на малогабаритном нагревательном столе Boetius с наблюдательным устройством РНМК 05 фирмы VEB Analytik.

Синтез 3-гетарил-1-R-2-оксо-3-цианопропилэтантиоатов 3a–n (общая методика). К раствору 5 ммоль 2-азагетарилацетонитрила **1a–m** в 5 мл ДМФА добавляют при комнатной температуре (25 °C) 5.5 ммоль хлорангидрида (ацетилтио)уксусной кислоты **2a** или α -(ацетилтио)пропионовой кислоты **2b** соответственно. Реакционную смесь оставляют на 24 ч, выпавший осадок отфильтровывают, промывают водой, сушат, перекристаллизовывают.

Синтез 5-амино-4-гетарилтиофен-3(2H)-онов 4a–k (общая методика). К раствору 5 ммоль соответствующего соединения **3a–i,k,l** в 5 мл ДМФА добавляют 10 ммоль основания (аммиак, диэтиламин или пиперидин) и оставляют при температуре 30–40 °C на 24 ч. Осадок отфильтровывают, промывают водой, сушат, перекристаллизовывают.

СПИСОК ЛИТЕРАТУРЫ

1. Ю. М. Воловенко, Т. А. Воловненко, *XГС*, 556 (2006). [*Chem. Heterocycl. Comp.*, **42**, 488 (2006)].
2. Ю. М. Воловенко, Т. А. Воловненко, А. В. Добрыднев, *XГС*, 680 (2006).
3. Ю. М. Воловенко, Г. Г. Дубинина, Т. В. Шокол, Ф. С. Бабичев, *ДАН України*, № 10, 126 (1994).
4. Ф. С. Бабичев, Ю. М. Воловенко, А. А. Олейник, *XГС*, 1515 (1977). [*Chem. Heterocycl. Comp.*, **13**, 1211 (1977)].
5. Ю. М. Воловенко, А. Г. Немазаный, В. А. Шевченко, Ф. С. Бабичев, *ДАН УССР*, № 9, 27 (1983).
6. Ю. М. Воловенко, Г. П. Кутров, В. Н. Сидоренко, Ф. С. Бабичев, *ДАН УССР*, № 10, 38 (1983).
7. Ю. М. Воловенко, О. В. Хиля, Т. А. Воловненко, А. В. Туров, *Докл. НАН України*, № 4, 128 (2003).
8. Ю. М. Воловенко, Т. А. Воловненко, А. В. Твердохлебов, И. Г. Рябоконь, *ЖОрХ*, **37**, 1389 (2001).

Киевский национальный университет
им. Тараса Шевченко, Киев 01033, Украина
e-mail:tavolov@univ.kiev.ua

Поступило 28.09.2004
После доработки 09.07.2006